

(7)

بسم الله الرحمن الرحيم

جامعة وادي النيل  
كلية الهندسة والتقنية

مشروع دراسة بحثية وعملية لنموذج توربين هوائي

لنيل شهادة الدبلوم في الهندسة الميكانيكية

theoretical and experimental study of wind turbine  
model

osama Mohammed Elmardi Sleiman  
Mechanical Engineering Department  
Faculty of Engineering and Technology  
Nile Valley University, Atbara, Sudan

إعداد

بهاء الدين عبد الله محمد

مرتضى أبو القاسم فضل

هيثم إبراهيم محمد أحمد

محمد خير الله النعيم محمد

1998

إشراف الأستاذ

أسامة المرضي

## المحتويات

الصفحة

(I)	الإهداء
(II)	شكر وموثران
(III)	ملخص

### الفصل الأول

(1)	1.0 مقدمة
(1)	1.1 خلفية تاريخية
(3)	1.2 استغلال طاقة تيارات الرياح في السودان

### الفصل الثاني

(4)	2.0 نظرية الجسيمات الهوائية
(4)	2.1 تعريف الجسم الهوائي
(5)	2.2 مصطلحات الجسم الهوائي
(5)	2.3 الثوابت الهندسية
(6)	2.4 أنواع الجسيمات
(6)	2.5 توليد قوة الرفع والسحب

### الفصل الثالث

(10)	3.0 تصميم النماذج وإجراءات الاختبار
(10)	3.1 تصميم النماذج
(11)	3.2 إجراءات الاختبار

### الفصل الرابع

(13)	4.0 القراءات والنتائج
(13)	4.1 القراءات
(13)	4.2 عينة من كيفية إجراء الحسابات
(14)	4.3 النتائج
(14)	4.4 التعليق على النتائج

### الفصل الخامس

(15)	5.0 الخاتمة والتوصيات
(15)	5.1 الخاتمة
(15)	5.2 التوصيات
(15)	المراجع والملاحق

بسم الله الرحمن الرحيم

## ملخص :

هذا البحث هو سلسلة من البحوث التي تم تنفيذها بكلية الهندسة والتقنية عظيمة لمحاولة الاستفادة من الطاقة المتجددة [Renewable Energy] المتاحة لدينا والتي لم يتم استغلالها بالصورة المثلى مثل طاقة الرياح ، الطاقة الهيدرولية ، طاقة الشمس ، طاقة باطن الأرض ، الطاقة الحيوية وغيرها ومحاولة تحويلها إلى شكل مناسب من الطاقة لمصلحة الإنسان في بلادنا .

**الفصل الأول** من هذا البحث يحتوي على مقدمة تتناول خلفية تاريخية لاستغلال طاقة تيارات الرياح في تشغيل محطات القدرة المختلفة (مولدات ، طواحين ، طلمبات ، وغيرها ...). عند نهاية هذا الفصل تم حصر الأهداف الأساسية لهذه الدراسة .  
**الفصل الثاني** يشرح نظريات الجسيمات الهوائية المختلفة والمقاطع المستطيلة و يعرف المصطلحات الفنية المتعلقة بهما .

بينما **الفصل الثالث** يتطرق لتصميم النماذج والإجراءات المستخدمة لاختبارها .  
**الفصل الرابع** يوضح القراءات التي تم الحصول عليه والنتائج المقابلة لها خلال جداول ، مخططات ، وعينة من الحسابات .

**الفصل الخامس** من هذه الدراسة يتضمن الخاتمة والتوصيات التي تبرر استخدام مثل هذا النوع من مقاطع الريش ويعطى توصيات إضافية خاصة بتطوير هذا التصميم . ملحق هذا البحث يحتوي على جداول ومخططات خاصة بالنماذج التي تم إجراء الاختبار عليها .

# إهداء

إلى آبائنا

إلى أمهاتنا

إلى الاساتذة الاجلاء

إلى كل من ساعد او اشرف وشارك  
في تنفيذ او التخطيط لهذا المشروع ،،،  
إلى دماء شهداء هذه الامة ،،،  
اليكم جميعاً نهدى هذا العمل المتواضع ،،،





## شكر و عرفان

إلى كل من ساهم في انجاح هذا المشروع  
و الشكر أولاً إلى

### الاستاذ / أسامة المرضى

الذى اضاء لنا الطريق بوضع اللبنة الاولى لهذا المشروع و  
الذى لم ييخل علينا باى معلومة متى ما طلب منه ذلك ،، ،  
و الشكر موصول آلى جميع رؤساء الورش و إلى شركة  
اعمال الرى والحفريات لتعاونهم التام معنا ،، ،  
فلهم منا فائق الشكر والعرفان ،، ،  
وجزااهم الله خير الجزاء

# الفصل الأول

### خلفيه تاريخيه :

زيادة استهلاك مصادر الطاقة سنة تلو الاخرى بعد الثورة الصناعيه التي عمت العالم قبل اكثر من قرن ونصف القرن هددت <sup>بمصادرها</sup> بقدها خاصة بعد اختراع الآلات والمكينات الحديثه و التي <sup>تبعها</sup> البحث عن مصادر للطاقة مثل الزيوت و المواد المعدنيه الاخرى و التسابق المحموم في محاولة امتلاك الاشكال المتاحة من الطاقة باى وسيلة ومحاولة تحويلها إلى منتجات او خدمات لرفاهية الانسان كهذا التسابق الجنونى شجع العلماء و الباحثين لعمل كل ما فى وسعهم لانقاذ موارد العالم المحدوده .

وهكذا فانه قد تم توجيه البحث العلمى ناحية إيجاد مصادر اخرى للطاقة تكون مستمرة و ابدية مثل الطاقة المتجدده التي تشمل طاقة الشمس ، تيارات الرياح ، الغازات الحيويه ، الحرارة الكامنه فى باطن الارض ، وطاقة تيارات المياه وغيرها . هذه الاشكال من الطاقه يمكن الاستفادة منها بتكلفة تشغيل صغيره جداً <sup>تقريباً معدومه</sup> لحل مشاكل الطاقه كلياً او جزئياً فى بلدان عديده خلال هذا العالم . ولكن المشكله الان تكمن فى التكاليف الانشائيه المتصاعده لانشاء وحدات التحويل التي بمقدورها تحويل هذه الطاقة الخام إلى اشكال مفيدة .

طاقة تيارات الرياح هي احدى الطاقات المتجدده التي <sup>تقسم</sup> تقسم بالاستمراريه و الديمومه و التي يمكن استغلالها و الاستفادة منها فى كثير من التطبيقات الهندسيه التي تحتاج لقدرة <sup>كافيه</sup> مثل تشغيل طلمبات صغيره الحجم <sup>لدى</sup> حيازات صغيره او توليد قدرة كهربائيه لاضاءة المنازل وغيرها . تنشأ حركة الرياح نتيجة لتغير درجة حرارة الهواء عند ملامسته الارض فهو يبرد ليلاً ويسخن نهاراً .

وتتغلف سرعة الرياح كثيراً من مكان لآخر <sup>تفنى</sup> بعض الاحيان تكون الرياح على هيئة نسمة لطيفة وفى بعضها الآخر تزداد سرعتها بزيادة كبيرة قد تصل إلى حد العاصفة و الاعصار .

وقد وضع <sup>الاميرال البريطانى</sup> «عاش» فى القرن التاسع عشر يدعى اسير فرانسيس بوفورت مقياس تقريبي للرياح على اساسه اقيمت قوة رفع الرياح لاشرة السفن الشراعيه المستعملة فى ذلك الحين وعرف باسم مقياس بوفورت لسرعة الرياح وماذال حتى اليوم مستعملاً .

الرياح ذات السرعة ٦٢ -- ٧٤ كلم / الساعه و التي تؤدى إلى انكسار اطراف فروع الشجر لا تصلح للاستخدام فى الطاقة مما تحدته من خراب ودمار ويجب عند اختيار الاماكن التي

تقام فيها التجهيزات لاستخدام طاقة الرياح بحيث تكون مناسبة لها صفة الدوام طول العام .

وقد بلغ قطر المراوح المستخدمة في الولايات المتحدة ٦٠ متراً وتوقف في مصر في شبه جزيرة سيناء وفي منطقة شرق العوينات . وقد ثبت في بعض الدراسات التي اجريت في هذا المجال ان سرعة الرياح في منطقة العوينات تبلغ في المتوسط ثمانية امتار في الثانية اى ٣٠ كيلومتر / الساعه وهى سرعة مناسبة تكفى لتوليد قدر من الكهرباء من مراوح كهربائية قطر كل منها نحو عشرين متراً . ويمكن عن طريقها استخراج المياه من الآبار . الارتوازية لدى نحو ٢٥٠ الف فدان من الاراضى القابلة للزراعه بهذه المناطق .

كذلك .. من بعض الدراسات التى قام بها فريق يتكلف من وزارة الكهرباء و الطاقه ان منطقة خليج السويس بها سرعات هواء عالية قدرتها آلي الف ميغاوات وهى تعادل قوة محطة توربينية كبيرة .

وهناك مشروعات لتوليد الكهرباء و استخراج المياه من باطن الارض فى رأس غاب و الفردقة ولصناعة الثلج الجروش باسوان . ومن المنتظر ان يتسع استعمال طاقة الرياح لتوليد الكهرباء و استخراج المياه من باطن الارض فى كثير من البلدان . وهذه المخطات قليلة التكاليف ويمكن وضع كثير من اجزائها محلياً وكل ما تطلبه مرور رياح متوسطة السرعة طول العام .

وفى هولندا استخدمت سرعة الرياح فى تحريك طواحين الهواء التى اُثخيت على ساحل البحر استعملت فيها مراوح ضخمة تحركها الرياح لتحرك بدورها الطاحونة الموجودة بقناع البحر وكذلك اقيمت باربكا ابراج عالية تحمل مراوح ضخمة لانتاج الكهرباء وبلغ قطر بعض المراوح ٦٠ متراً وتخطط غالباً استخدام الطاقة من الرياح لانتاج قدر كبير من الطاقة الكهربائية التى ستنتجها عام ٢٠٠٠م لتوفير الوقود .

المروحة التى قطرها ٨ متر تستطيع ان تنتج ٣,٢ كيلوات من الكهرباء وهو يكفى احتياجات المنزل المعتاد

وتتميز هذه المخطات بعدم صدور ضوضاء ويمكن اقامتها بجانب المنازل لعدم حدوث ضوضاء منها . وتتوفر فى كثير من مناطق فى مصر وفى الساحل الشمالى كما ذكرت وهذا طبقاً من ملخص الدراسات التى اجريت .



## استقلال طاقة الرياح ١.٢ - استقلال طاقتي سيارات الرياح بالسودان :

استقلال طاقة تيارات الرياح بالسودان ضعيف جداً نسبة لضعف حركة الرياح حيث هنالك احصاءات من محطة الارصاد الجوي لمتوسط سرعة تيارات الرياح لمدن عديدة في السودان يمكن من خلالها تحديد المناطق التي يمكن ان تستفيد من هذه الطاقة فنجد ان متوسط سرعة الرياح للاعوام من 1961 إلى 1992 م في المدن المذكوره في الجدول ادناه كالاتي :

صنستلس	المدينة	متوسط سرعة الرياح (m/s) 1961-1992
١	كريمه	3.57 ٣.٥٧
٢	الخرطوم	3.33 ٣.٣٣
٣	عطيره	2.63 ٢.٦٣
٤	نيالا	3.20 ٣.٢٠
٥	الفاشر	2.37 ٢.٣٧
٦	ود مدني	3.13 ٣.١٣
٧	القضارف	2.77 ٢.٧٧
٨	بورتسودان	3.00 ٣.٠٠

حافظ مخططات إحصائية عدد من (١٦) (٢٥)

للتفاصيل بلحقات مخطط الرياح (١٦) ص (١٦) الشرعية  
من المعلوم ان السودان يتأثر بالرياح الشمالية الجافة في فصل الشتاء و الرياح الجنوبية الرطبه في فصل الصيف تبعاً لحركة الفاصل شمالاً او جنوباً ففى فصل الصيف مثلاً يتحرك الفاصل المدارى آلي اقصى شمال السودان او الناحية الجنوبية لمصر مما يجعل المناطق او جميع انحاء البلاد جنوب الفاصل المدارى عرضه للرياح الجنوبية الرطبه بينما يتحرك الفاصل المدارى في فصل الشتاء آلي اقصى الجنوب مما يجعل المناطق التي تقع شمال الفاصل المدارى متأثرة بالرياح الشمالية الجافة .  
من الجدول عاليه يلاحظ ان سرعة الرياح في السودان ضعيفه جداً بحيث لا يمكن استغلالها لتوليد قدرات أو محمله يمكن اعتبار الولاية الشمالية وولاية الخرطوم كأفضل المناطق في السودان التي تعطى سرعات نسبياً أفضل من غيرها لاقامة مشاريع صغيره تعمل بتيارات الرياح (سوى إنارة المنازل وغيرها)

## الفصل الثاني

## ٢٠٥ نظرية الجسيمات الهوائية

### ٢٠٥ ١ تعريف الجسم الهوائي :

الجسم الهوائي هو عباره عن جسم انسيابي يتم تصميمه لانتاج قوة رفع باقل قوة للسحب لجسم انسيابي مغمور في مائع مناسب ، نجد نقطة الانفصال متاخر حتى قرب المؤخرة وهذا سيخفض السحب على الجسم الانسيابي آلي ادنى قيمة . يمكن ان يكون السحب الواقع على الجسم الانسيابي حوالى  $\frac{1}{15}$  من السحب الواقع على اسطوانة بنفس السمك .

الملح الاساسى و الهام فى الجسم الانسيابي هو المسلوب البطيء للذيل . من الواضح ان الرسومات الموضحة فى الشكل رقم  $\textcircled{2-1}$  و  $\textcircled{2-2}$  ص  $\textcircled{8}$  تشبه حتما بعض المخلوقات البحرية  $\textcircled{\text{الاسماك و الدلافين}}$  .

## ٢,٢ مصطلحات الجسم الهوائى :

الشكل رقم (٢,١) يوضح جسيم هوائى وبعض المصطلحات المتعلقة به ومنه المصطلحات يمكن تعريفها كالاتى :

### (١) ٢.٢.١ الحافة الامامية :

هى الحافة التى يمر بها الانسياب فى الاول ويطلق عليها فى بعض الاحيان انف (٢) .

### (٢) ٢.٢.٢ الحافة الخلفية :

هى النهاية البعيدة للجزء الخلفى للجسيم الهوائى .

### (٣) ٢.٢.٣ الوتر :

هو المسافة بين الحافة الامامية و الخلفية .

### (٤) ٢.٢.٤ خط الوتر :

هو مستقيم يتم رسمه لوصول الحافتين بحيث يمر خلال مركز المساحة للجسيم الهوائى .

### (٥) ٢.٢.٥ خط التقوس :

هو الخط الذى يصل بين الحافتين بحيث يمر خلال مركز المساحة للجسيم الهوائى .

### (٦) ٢.٢.٦ زاوية السقوط :

هى الزاوية التى يضعها خط الوتر للجسيم الهوائى مع إتجاه انسياب المائع ويطلق عليها فى

بعض الاحيان زاوية الهجوم .

## ٢.٣ الثوابت الهندسية :

خواص مقطع الجسيم الهوائى يتم تحديدها ببعض الثوابت الهندسية التى يمكن تعريفها كالاتى :

### (١) ٢.٣.١ نسبة $t/c$ :

هى النسبة بين السمك الاقصى  $t$  وخط الوتر  $c$  .

### (٢) ٢.٣.٢ نسبة $x/c$ :

هى النسبة بين موضع السمك الاقصى بعد الأنف و طول الوتر .

### (٣) ٢.٣.٣ النسبة المتوية للتقوس :

هى النسبة بين التقوس الاقصى وطول الوتر ويعبر عنها كنسبة متوية .

### (٤) ٢.٣.٤ النسبة المتوية لنصف قطر الأنف :

هى نصف قطر التقوس للأنف كنسبة إلى طول الوتر .

### ٥.3.3 زاوية الحافة الخلفية :

هي الزاوية بين السطوح العليا و الدنيا عند الحافة الخلفية .

### ٤.4 انواع الجسيمات الهوائية :

يمكن تصنيف الجسيمات الهوائية عموماً إلى نوعين رئيسين هما جسيمات هوائية متماثلة وجسيمات هوائية غير متماثلة .

#### ١) الجسيمات الهوائية المتماثلة :

الملاحظ الاساسية لهذا النوع هو ان خط التقوس يطابق مع خط الوتر كما واضح في الشكل رقم ٢٠٢ من النادر إستخدام هذه الجسيمات الهوائية لاننا يمكن ان نتحصل على رقم دفع اعلى وقيم سحب ادنى بانواع اخرى من الجسيمات الهوائية .

#### ٢) الجسيمات الهوائية غير المتماثلة :

يمكن تحسين النسبة بين قوة الرفع وقوة السحب  $FL / FD$  باستخدام جسيمات هوائية غير متماثلة . في هذه الجسيمات الهوائية نجد ان خط التقوس لا يطابق مع خط الوتر .

### ٤.5 توليد الرفع و السحب :

اذا وضع جسيم هوائي في جدول من المائع المنساب ، فان خطوط السريان حول الجسم الهوائي ستتحرف مسببه انخفاض في الضغط على السطح العلوي وزيادة في الضغط على السطح السفلي . ونتيجة لهذا الاختلاف في الضغط فان هنالك قوة ستولد يمكن تحليلها آلي مكونه موازية لاتجاه انسياب المائع معطيه قوة السحب  $FD$  ، ومكونة ثنائية متعامده مع اتجاه السريان الرئيسي معطيه قوة الرفع  $F$   $L$  شكل رقم ٢٠١ قوتى السحب و الرفع هاتين يمكن التعبير عنهما بدلالة القوة الديناميكية القصوى  $F_{max}$  و التي تعطى بالصيغة التالية :

٢.١  $F_{max} = \frac{1}{2} \rho v^2 A (N)$  حيث  $e$  كثافة كتلة الهواء بال  $veg / min$  .

$v$  السرعة النسبية بين المائع المنساب و الجسم  $n / s$

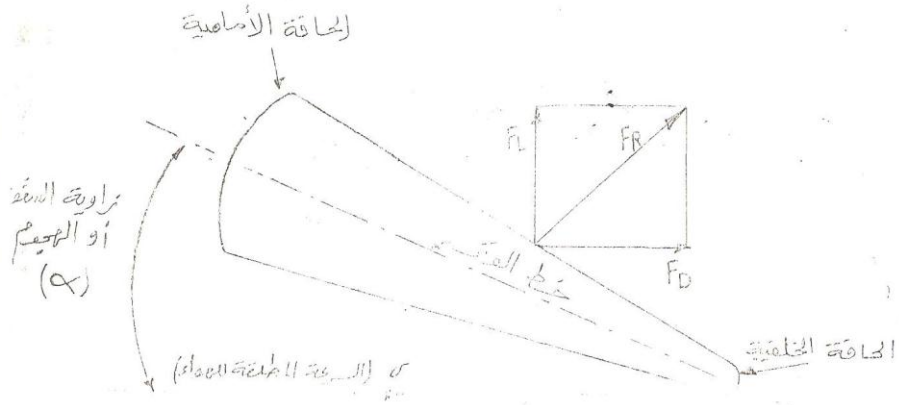
$A$  المساحة المستطيلة  $m^2$   $FL = \frac{1}{2} CL \rho v^2 A = 2.2$

قوة الدفع هي :  $٢.٢$   $FL = \frac{1}{2} CL \rho v^2 A (N)$

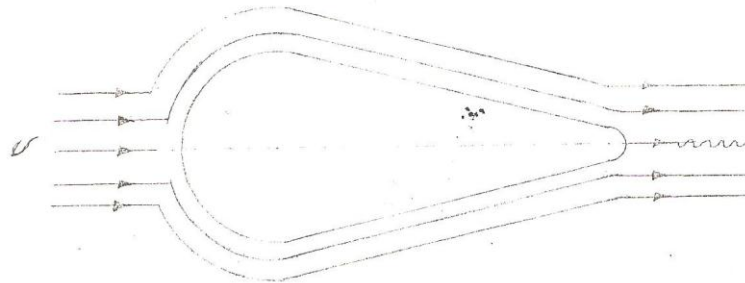
$٢.٣$   $FD = \frac{1}{2} CD \rho v^2 A (N)$

حيث :  $CL$  = معامل الرفع  
 $CD$  = معامل السحب

$$FD = \frac{1}{2} CD \rho v^2 A \rightarrow (2.3)$$



شكل رقم (2-1) جسم هوائي غير متماثل



شكل رقم (2-2) جسم هوائي متماثل

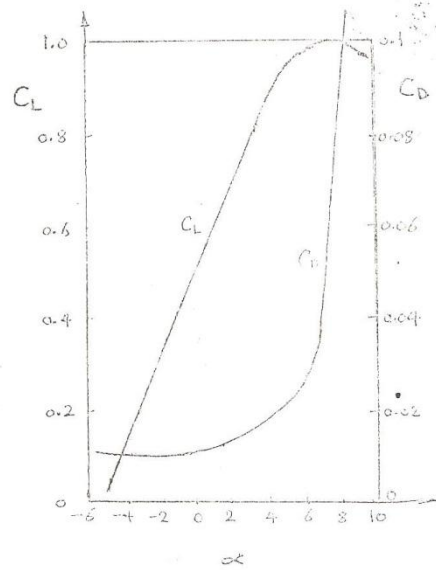


Fig. (2-4) Variation of  $C_L$  and  $C_D$  with  $\alpha$  for a typical Aerofoil

## الفصل الثالث



### 3.5 تصميم النماذج واجراءات الاختبار :

#### 3-1-1 تصميم النماذج :

تم اختيار نوعين من النماذج لاجراء الاختبارات عليهما . احد هذه النماذج مقطعه انسيابي و الآخر مقطعه مستطيل كالمستخدم في المراوح الهوائية وكلا النموذجين متشابهين هندسياً تم اتخاذهما بنفس الابعاد

#### تقريباً 3-1.1

#### 3-1-1-1 النموذج ذو المقطع الانسيابي :

تم تصنيفه من الخشب الموسيقى بالابعاد التالية :

$$\text{الوتر } \langle C \rangle = 35 \text{ mm}$$

$$\text{السمك الاقصى } \langle t \rangle = 4 \text{ mm}$$

$$\text{النطاق } \langle s \rangle = 330 \text{ mm}$$

$$\text{نسبة } \langle x/c \rangle = \frac{1}{3} = 0.333 \text{ موضع السمك الاقصى من الانف } \langle x \rangle$$

$$\frac{4}{35} = 0.1143$$

#### 3-1.2 النموذج ذو المقطع المستطيل :

وهو مقطع مستطيل منتظم ظن تم تصنيعه من الخشب الموسيقى بالابعاد التالية :

$$\text{السمك } \langle t \rangle = 4 \text{ mm}$$

$$\text{العرض } \langle c \rangle = 35 \text{ mm}$$

$$\text{النطاق } \langle s \rangle = 330 \text{ mm}$$

#### 3-1.3 تصنيع الريش :

تم تصنيع طقمين من خشب الموسيقى . كل طقم يحتوي على اربعة ريش متشابهة . ايضاً تمت استدارة حافة كل ريشه وذلك لتخفيض الدوامات الخلفية . هنالك قطعه من الفولاذ الطرى تم لحام صاموليه عليها وربطها على كل ريشه . ايضاً توجد صاموليه اخرى لضبط وتثبيت زاوية السقوط المطلوبه . هنالك مؤشر يتم تثبيته عند الحافة الاماميه  $\langle \text{الانف} \rangle$  لكل ريشه لغرض مقارنة زاوية السقوط المطلوبه .

### ٤.١.٤ تصميم وتصنيع الشاسيه و العمود (شكل رقم ٤, ١, ٣)

#### ٤.١.٤.١ الشاسيه :

يتكون الشاسيه من جزئين ، الجزء الاول يتكون من محملين بقطر داخلي مقداره ٢٠ mm و قطر خارجي ٤٦,٨ mm لاسناد العمود ، بينما الجزء الآخر يستخدم لتثبيت الجهاز في الموضع المطلوب ثم استخدام زاوية من الفولاذ الطرى ١٢,٧ mm لتصنيع الشاسيه و استخدمت ~~مسامير~~ <sup>مسامير</sup> ~~المسامير~~ <sup>المسامير</sup> لربط القطع المختلفه للشاسيه .

#### ٤.١.٤.٢ العمود :

هو العمود بجوف (ماسوره ٥٥ بوصة بطول ١,٢٥ m و قطر ١٩,٦ mm من الفولاذ الطرى . ثم لحام صره قرصيه مصنوعه من الفولاذ الطرى قطرها 60 mm و سمكها 2٥ mm

#### ٤.١.٥ فرملة برونى و الاجهزة المساعده :

تم تصنيعها من قطعة صفيحه عرضها 18 mm و سمكها 2 mm ولديها ذراع طوله 75 mm مقاساً من مركز دوران العمود . تم استخدام ميزان زنبركى للمدى مع فرملة برونى ليشكل منظومه لقياس العزم . و العزم المطلوب قياسه هو العزم الذى ينقله العمود . هنالك قائم رأسى مثبت بمسا مير على الشاسيه يستخدم لمسك الميزان الزنبركى .

يتم استخدام ساعة إيقاف للمساعدة فى قياس سرعة الزاوية للعمود ويتم هذا بحساب عدد لفات العمود فى دقيقه .

ايضاً يجب ان يتوفر جهاز لقياس سرعة تيار الهواء عند اوقات متباينه خلال الاختبار حيث يتم اخذ عدد من القاءات وحساب المتوسط .

#### ٣.٣ إجراءات الاختبار :

يمكن تلخيص إجراءات الاختبار كالتالى :

- 3-2.1 استخدام مفتاح لضبط زاوية السقوط المطلوبه للريش الاربعه على التوالى .
- 3-2.2 اعتق فرملة برونى لجعل العمود حر الحركة ودع العمود يدور لمدة دقيقه قبل اخذ القراءة .
- 3-2.2 استخدام ساعة إيقاف و احسب عدد اللفات للعمود خلال دقيقه واحده وهذه تمثل سرعة العمود بال rev / min .
- 3-2.4 طبق فرملة برونى على العمود حتى يتوقف مطلقاً عندئذ سجل قاءة الميزان الزنبركى .

3-2-5  
3, 4, 5

يتم اخذ قراءة سرعة الدوران وقراءة الميزان الزنبركي ثلاثة مرات خلال كل ضبط جديد

لزواوية السقوط ، وبعد ذلك يتم تسجيل القيم المتوسطة .

3-2-6  
3, 4, 5

يتم اخذ قراءة سرعة تيار الرياح بمقياس تيار لكل ضبط جديد ويتم تسجيل القيمة المتوسطة .

3-2-7  
3, 4, 5

كرر الاجراءات اعلاه لكل ضبط لزواوية السقوط .



## الفصل الرابع

لعمل المرح  
4.0 القرار والسندج :-

4-1 القرار  
المحرك (4-1-1) و (4-1-2). موضع القرار التي هي المحرك على  
مزارع الأسمدة بالسنة. كما أن الأسمدة، والمعلق المستعمل  
على الترتيب

4.2 نسبة من كفاءة إقرار الحسابات :-  
بأن أي قراره من المحرك (4-1-1) :-

$$\alpha = 5^\circ, \beta = 5 - 4$$

$$= 3.56 - \frac{16 \times 2\pi}{60} \times 0.39$$

$$= 3.56 - 0.49 = 3.07 \text{ m/s}$$

عند  $v =$  سرعة الرياح  
 $u =$  سرعة الدوران

من براد المبرد من العنبر الكون ودرجة حرارته (40°C)

$$N = 16 \text{ rev/min}, \rho = 1.25 \text{ kg/m}^3$$

$$F = 1.2N, C = 35 \text{ mm} = 0.035 \text{ m}$$

$$r = 75 \text{ mm} = 0.075 \text{ m}$$

على سطح المساحة الكلية الألية كالآتي  
المحرك

$$T = F \cdot r$$

$$= 1.2 \times 0.075 = 0.09 \text{ Nm}$$

قدرة المرح

$$P_o = \frac{2\pi TN}{60}$$

$$= \frac{2\pi \times 0.09 \times 16}{60} = 0.16 \text{ W}$$

قدرة الدخل

$$P_i = \frac{1}{2} \rho C_r^3 H$$

$$= \frac{1}{2} \times 1.25 \times 3.07^3 \times \frac{\pi}{4} \times 0.39^2 = 2.16$$

$$\eta = \frac{P_o}{P_i} \times 100\% = \frac{0.16}{2.16} \times 100\% = 7.4\%$$

4.3 النتائج :-

4.4 التلصق بالانساج  
يصنع من الانساج التي تم الحصول عليها ان يلقاها بتعداد  
تزايد زاوية السقوط الى قيمة المصدر ثم بدأ  
في التلصق تدريجياً مرة اخرى الى العنق ونحو ان  
الكفاءة القوية تم الحصول عليها في المطع الانساجي  
وهي (12%) اقل من المطع المستعمل (7-7%)

## الفصل الخامس

الفصل الخامس :-

5-0 الكفاءة والتوصيات :-

يبلغ من القدرات التي تم انجازها ان رشت المصمم لحواف  
لحق اقصى قدرة وبالنسبة لاقصى كفاءة حفرته  
بالرشت المصطليح المنوع برأوة صخره وسيد  
كله فانتا يتبع بالاسودام هذا النوع من  
الرشت مستهلا حتى تطفقات لطلاصم لحوافه  
لديه لستة سرعات الرياح فذلك هذا الفل  
من العام (3-00m/s) فانتا قد استمدنا حوده  
تريده لاجراء الاقشار من سرعات  
فدأها (3.56m/s) -

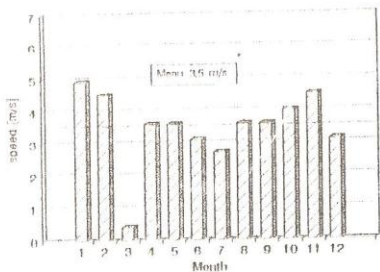
تم - 3 -



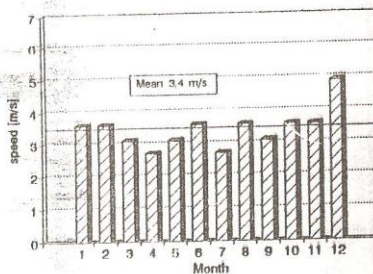
WINDSPEED - STATION KARIMA

(base of Sudan Meteorological Department)

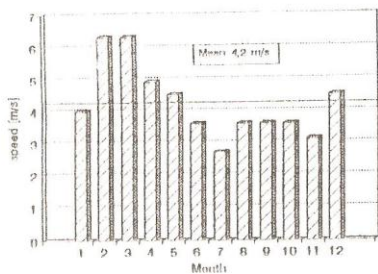
year 1988



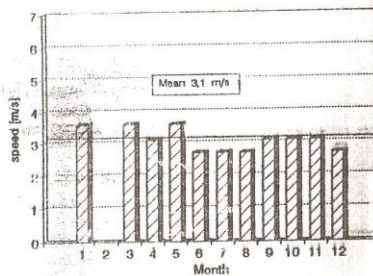
year 1989



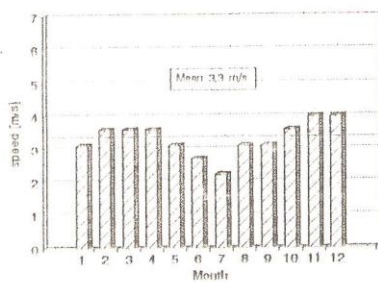
year 1990



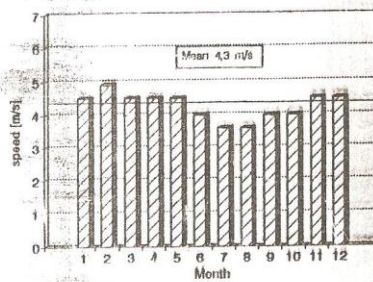
year 1991



year 1992



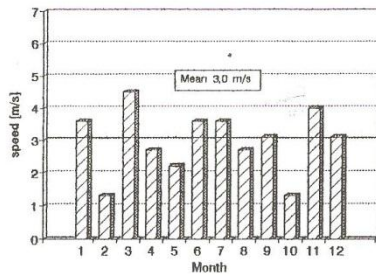
years 1961 - 1990



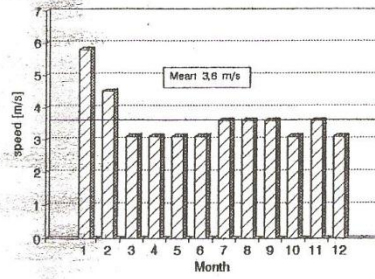
WINDSPEED - STATION KHARTOUM

(base of Sudan Meteorological Department)

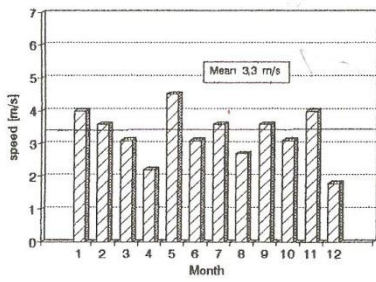
year 1988



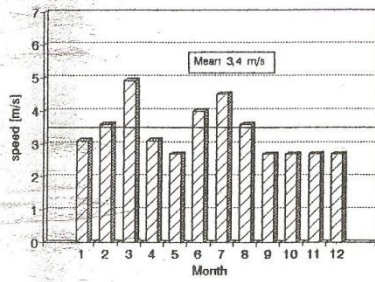
year 1989



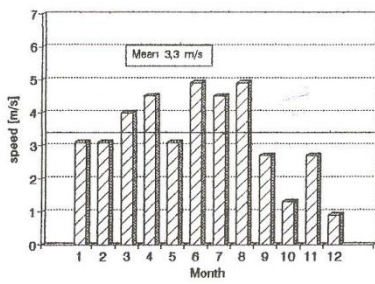
year 1990



year 1991

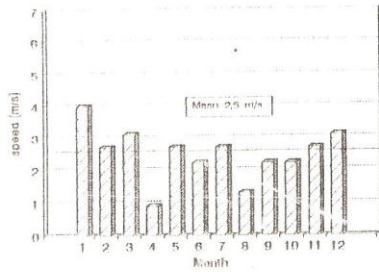


year 1992

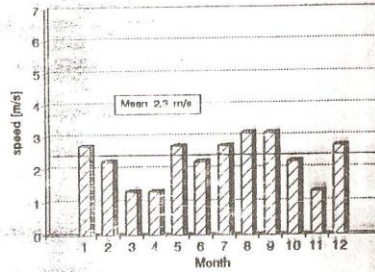


WINDSPEED - STATION ATBARA (base of Sudan Meteorological Department)

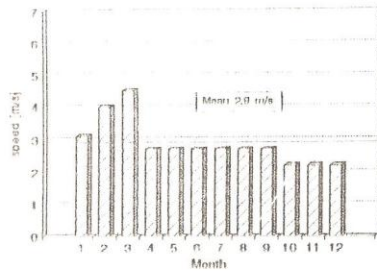
year 1988



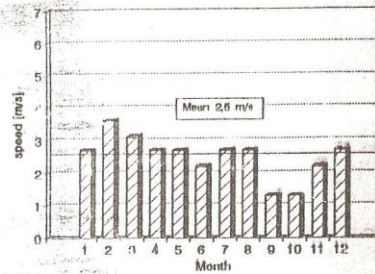
year 1989



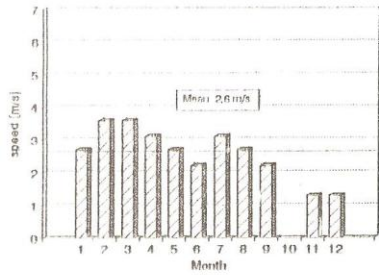
year 1990



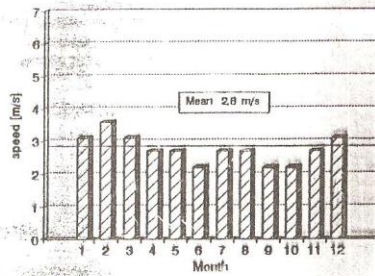
year 1991



year 1992



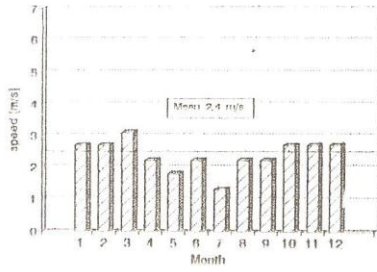
years 1961 - 1990



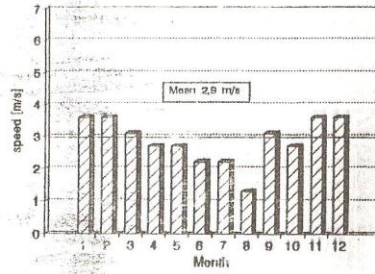
WINDSPEED - STATION NYALA

(base of Sudan Meteorological Department)

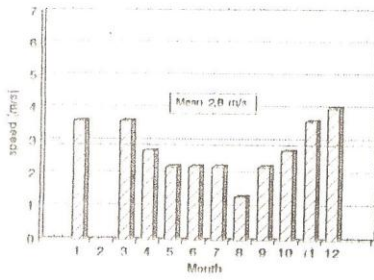
year 1988



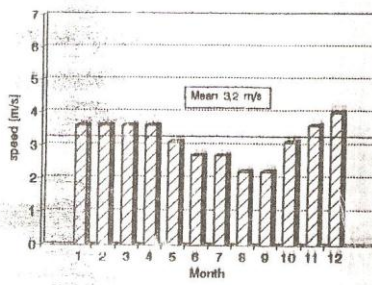
year 1989



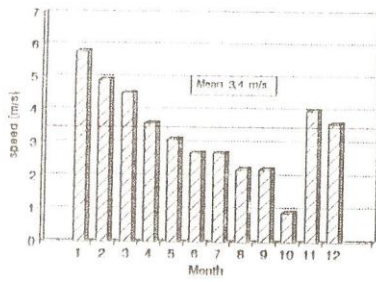
year 1990



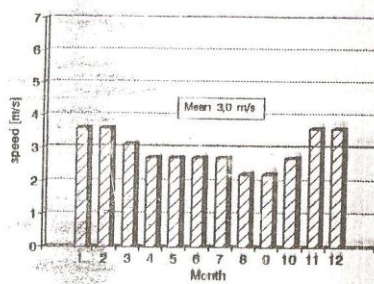
year 1991



year 1992



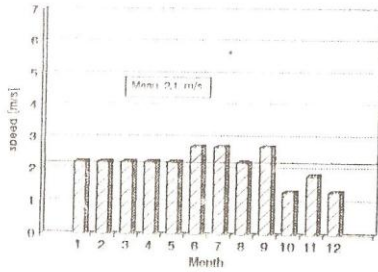
years 1961 - 1990



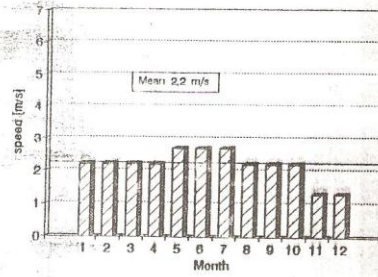
WINDSPEED - STATION EL FASHER

(base of Sudan Meteorological Department)

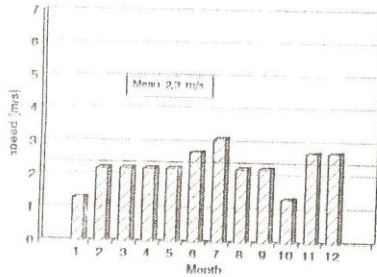
year 1988



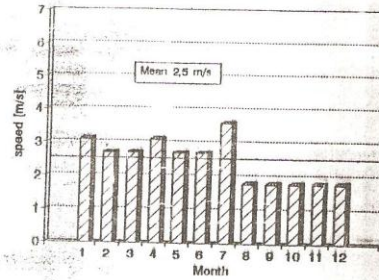
year 1989



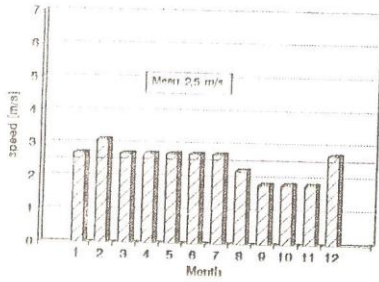
year 1990



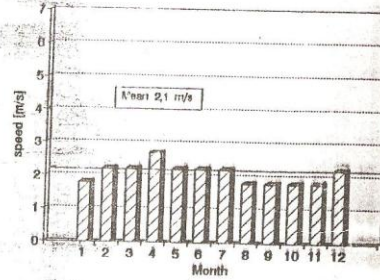
year 1991



year 1992



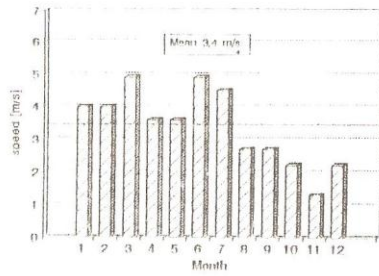
years 1981 - 1990



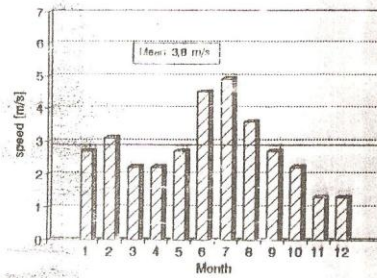
WINDSPEED - STATION WAD MEDANI

(base of Sudan Meteorological Department)

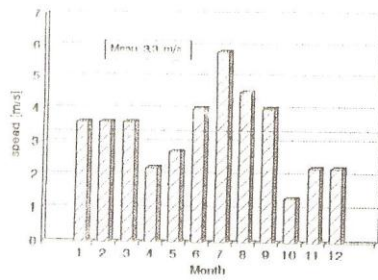
year 1988



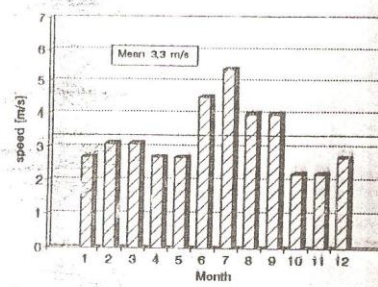
year 1989



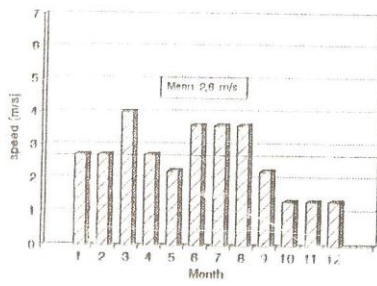
year 1990



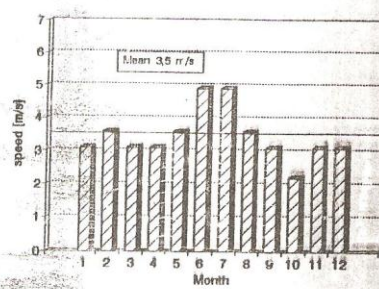
year 1991



year 1992



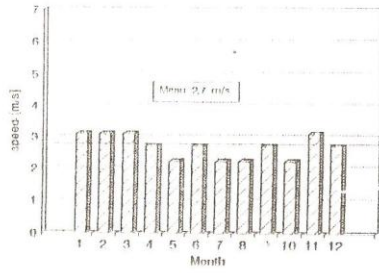
years 1961 - 1990



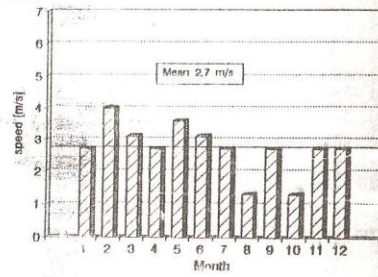
WINDSPEED - STATION GEDAREF

(base of Sudan Meteorological Department)

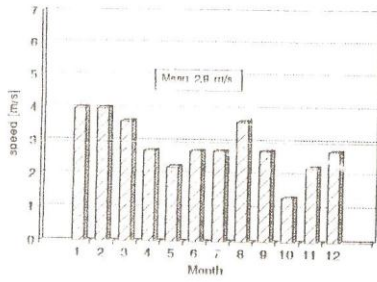
year 1988



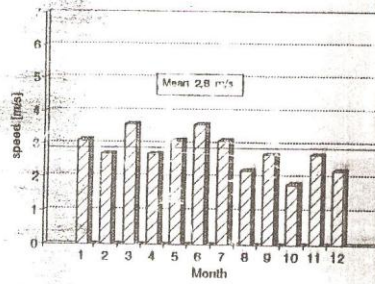
year 1989



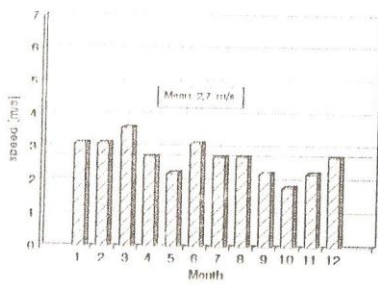
year 1990



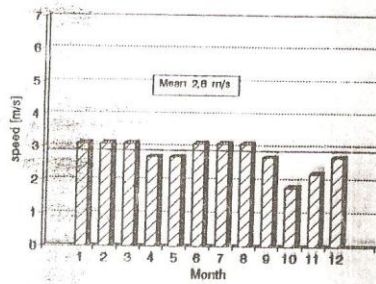
year 1991



year 1992



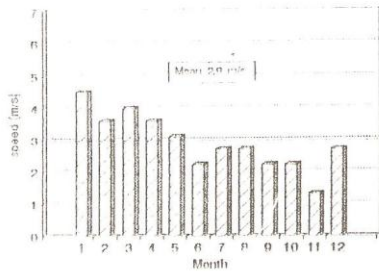
years 1961 - 1990



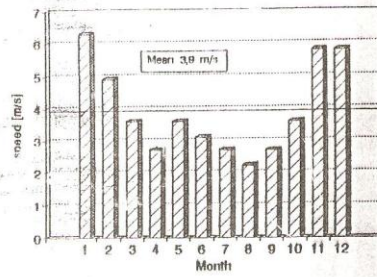
WINDSPEED - STATION PORT SUDAN

(base of Sudan Meteorological Department)

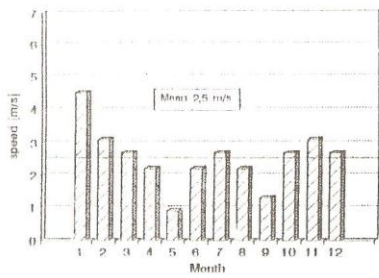
year 1988



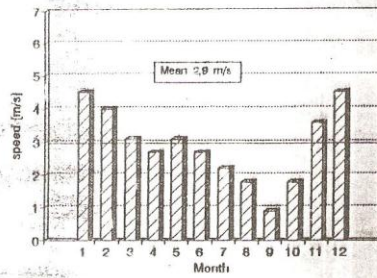
year 1989



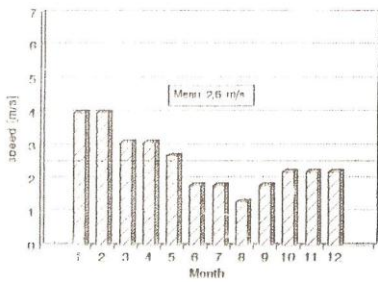
year 1990



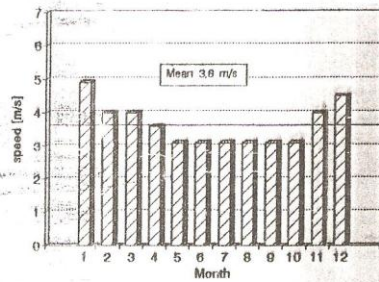
year 1991



year 1992



years 1961 - 1990





بيروت (4-1-1) ترميزان المصنع الإنسيبات

تواتر التردد (N)	السرعة (rev/min)	زاد (تواتر (N))
0	0	0
0.7	14	10
0.8	16	20
1.0	18	30
1.4	26	40
1.2	16	50
0.8	10	60
0.5	8	70
0.2	4	80
0	0	90

بيروت (4-1-2) ترميزات مصنع السطيل

تواتر التردد (N)	السرعة (rev/min)	زاد (تواتر (N))
0	0	0
0.6	8	10
0.8	10	20
1.25	17	30
1.00	13	40
0.80	14	50
0.45	8	60
0.25	6	70
0.10	3	80
صفر	صفر	90

جدول نتائج المقطع الإليسيك (4-3-1)

الانقارسة (mm)	سرعة الترخ (w)	الزخم (N-m)	$\alpha$ (deg)
صفر	صفر	صفر	صفر
0.018	0.04	0.052	10
0.044	0.1	0.06	20
0.06	0.14	0.075	30
0.12	0.286	0.105	40
0.07	0.16	0.09	50
0.02	0.063	0.06	60
0.014	0.031	0.037	70
0.003	0.006	0.015	80
0	0	0	90

جدول نتائج المقطع المستطيل (4-3-2)

الانقارسة (mm)	سرعة الترخ (w)	الزخم (N-m)	$\alpha$ (deg)
صفر	صفر	صفر	صفر
0.018	0.04	0.045	10
0.029	0.063	0.06	20
0.077	0.167	0.094	30
0.005	0.02	0.075	40
0.04	0.088	0.06	50
0.02	0.028	0.034	60
0.005	0.012	0.028	70
0.01	0.024	0.075	80
0	0	0	90

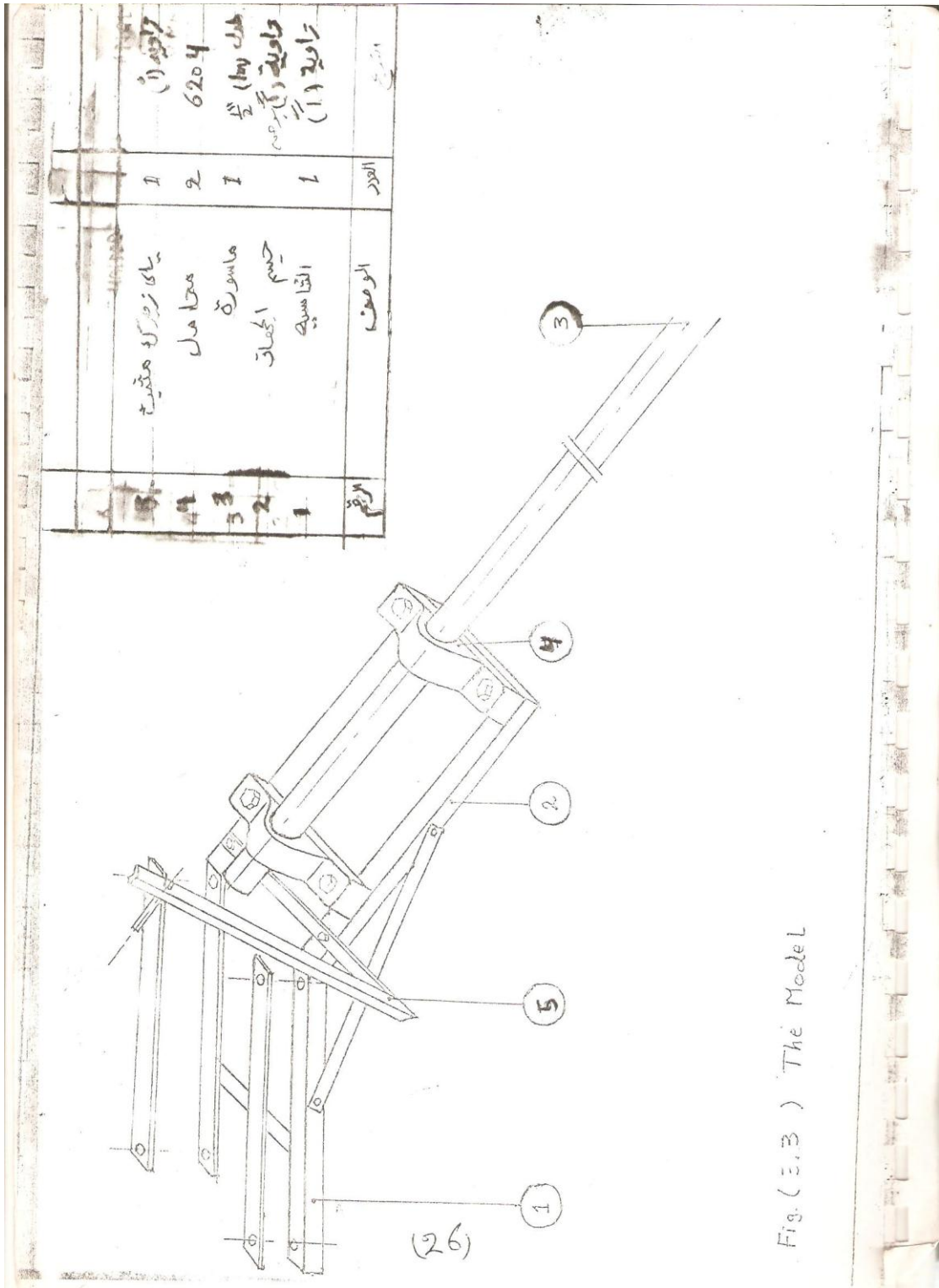


Fig. ( 3.3 ) The Model

## التكلفة الكلية للمشروع

العدد	النوع	السعر بالدينار	الرقم
24	صهاريز	$200 \times 24 = 4800$	1
2	محمل 6204	$2 \times 6000 = 12000$	2
1	بلاطة زائفة (أ)	4000	3
4	مقابل دائرية	$4 \times 500 = 2000$	4
1	مادة (ب)	5000	5
1	مادة خشبية	5000	6
		<hr style="width: 20%; margin-left: auto; margin-right: 0;"/>	
		32800	7

سعر التكلفة الكلية للمشروع تساوي 32800 دينار

## المراجع -

1- الطاقة وحسابها  
أحمد عزت الأندلسي

2- Solving problems in fluid mechanics By

J-F-Douglas

volume (I)

3- Solving problems in fluid mechanics By

J-F-Douglas

volume (2)